



Revista de la Sociedad Química del Perú

ISSN: 1810-634X

sqperu@gmail.com

Sociedad Química del Perú

Perú

Zanabria, César; Medina, Rafael; Gilvonio, Leoncio R.; Munive, Marco; Baltuano, Óscar;
Sol?S, José L.

ANÁLISIS IN SITU DE LA CANTERA DE CALIZA USANDO ANÁLISIS POR
ACTIVACIÓN NEUTRÓNICA DE GAMMAS INMEDIATOS

Revista de la Sociedad Química del Perú, vol. 74, núm. 4, octubre-diciembre, 2008, pp.
332-342

Sociedad Química del Perú
Lima, Perú

Disponible en: <http://www.redalyc.org/articulo.oa?id=371937611013>

- ▶ Cómo citar el artículo
- ▶ Número completo
- ▶ Más información del artículo
- ▶ Página de la revista en redalyc.org

ANÁLISIS *IN SITU* DE LA CANTERA DE CALIZA USANDO ANÁLISIS POR ACTIVACIÓN NEUTRÓNICA DE GAMMAS INMEDIATOS

César Zanabria^a, Rafael Medina^a, Leoncio R. Gilvonio^a, Marco Munive^b,
Óscar Baltuano^b, José L. Solís^{*b,c}

RESUMEN

Se realizó la caracterización *in situ* de las perforaciones de voladura en las canteras de Atocongo y Pucará de Cementos Lima S.A. por análisis por activación neutrónica de gammas inmediatos (Prompt Gamma Neutron Analysis Activation, PGNA). Esta técnica muestrea el volumen que está alrededor de la perforación y provee resultados del análisis en tiempo real y que son representativos. Esta información es útil para determinar el modelo geofísico de la cantera. La técnica PGNA permite obtener resultados de campo de la concentración de determinados elementos de interés tales como el SiO_2 , Al_2O_3 , Fe_2O_3 , CaO y SO_3 . Las pruebas de campo realizadas han probado que el sistema puede ser de gran utilidad para la caracterización de las canteras de caliza.

Palabras clave: caliza, PGNA, neutrones, rayos gamma.

***IN SITU* ANALYSIS OF LIMESTONE OPEN CUT MINE USING PROMPT GAMMA NEUTRON ANALYSIS ACTIVATION**

ABSTRACT

In situ characterization of the blast holes has been done in Atocongo and Pucara open cut mines from Cementos Lima S.A. using prompt gamma neutron activation analysis (PGNA). This method collects information about the ore surrounding the bore hole and gives a real time and representative results for a geophysical model of the mine. The PGNA system gives an *in situ* estimation of SiO_2 , Al_2O_3 , Fe_2O_3 , CaO y SO_3 . The field trials have been proved that the system could be used to characterize the limestone open cut mines.

Key words: lime stone, PGNA, neutrons, gamma ray.

INTRODUCCIÓN

Los sondeos mecánicos son una herramienta muy importante en la exploración minera; esta técnica permite obtener muestras del subsuelo a diferentes profundidades. Su principal problema es su representatividad y en el mejor de los casos, sondeos con recuperación de testigo continuo al manipularla puede no haberse recuperado completamente. Posteriormente, estas muestras son enviadas al laboratorio para realizar los análisis respectivos usando técnicas como Fluorescencia de Rayos X, Absorción atómica, etc. Esto toma tiempo y puede producirse errores en los resultados como consecuencia de la manipulación de las muestras y

^a Cementos Lima S.A., Av. Atocongo 1440, Villa María del Triunfo, Lima

^b Instituto Peruano de Energía Nuclear, Av. Canadá 1470, San Borja, Lima

^{*c} Universidad Nacional de Ingeniería, Av. Túpac Amaru 210, Rímac, Lima. jsolis@ipen.gob.pe

debido a que la masa de la muestra analizada es de algunos gramos. No obstante, es la información más valiosa que se dispone sobre la mineralización, mientras no se llegue hasta ella mediante labores mineras. Entre las diferentes técnicas para analizar las perforaciones se tiene que el análisis por activación neutrónica de gammas inmediatos (Prompt Gamma Neutron Analysis Activation, PGNAA) tiene la capacidad de proporcionar una información cuantitativa "*in-situ*" de la ley de mineral de interés (cobre, carbón, hierro, silicio, etc.) en tiempo real y en función de la profundidad de la perforación^{1,3}. Esta información no es posible obtener mediante el análisis convencional de las perforaciones y podría ayudar a conocer mejor la distribución del mineral en la cantera y mejorar la planificación de la extracción de la misma.

Esta técnica nuclear de análisis elemental es no destructiva. Para este análisis el material se expone a un flujo de neutrones y como los neutrones carecen de carga eléctrica no sufren la acción de campos eléctricos ni magnéticos; por eso son capaces de atravesar grandes espesores del material. Cuando un neutrón choca con un átomo le cede parte de su energía mediante la acción de choques elásticos (se conserva la energía del sistema) e inelásticos (la energía del sistema se convierte en excitación interna del núcleo). Una fuente de neutrones (²⁵²Cf) emite neutrones rápidos, los cuales son frenados por los múltiples choques elásticos hasta alcanzar una energía de 0,025 eV; estos neutrones son conocidos como neutrones térmicos. La reacción más probable que se produce entre los neutrones térmicos y los núcleos es la captura neutrónica con la producción de un fotón gamma, donde el neutrón es absorbido por el núcleo produciendo un isótopo diferente (figura 1). El núcleo excitado emite una radiación gamma de alta energía al retornar a un estado de equilibrio⁵.

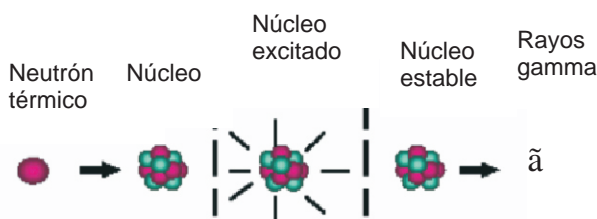


Figura 1. Esquema de la reacción nuclear de captura neutrónica⁴.

La energía de la radiación gamma es específica al núcleo y el tipo de reacción nuclear. Si la intensidad y la energía se miden con un detector espectrométrico, entonces se puede determinar el elemento y la cantidad del mismo, presente en la muestra. Los rayos gamma emitidos pueden ser clasificados como inmediatos, o retardados provenientes del decaimiento de la radiactividad inducida según el tiempo de vida media de la desintegración. La radiación gamma inmediata tiene una vida media de aproximadamente 10^{-13} s, mientras que la radiación gamma retardada se produce por el decaimiento radiactivo del isótopo excitado con un periodo de semi-densintegración del orden de segundos u horas, dependiendo del elemento. La reacción nuclear de captura neutrónica se expresa por:



La técnica PGNAA es de rápida respuesta, ya que los núcleos en estado de excitación presentan una vida media muy corta. Es un método no destructivo de análisis que presenta una baja actividad residual y es flexible a los requerimientos de las muestras; es decir, la forma química y la geometría de la muestra son relativamente irrelevantes.

Cuando los neutrones térmicos interaccionan con un elemento de volumen, dv , del núcleo de un elemento x que tiene una sección eficaz de captura neutrónica macroscópica, Σ_x , entonces la probabilidad de que el fotón gamma producido sea detectado por el detector en la sonda sin dispersión está determinado por la distancia que hay entre dv y el detector, y el coeficiente de atenuación de la roca para la radiación gamma. El efecto total, en ausencia de interferencia en la perforación, se obtiene por la integración del elemento de volumen sobre una esfera de influencia, V , del sistema detector-fuente de neutrones:

$$I_\gamma(l) = Q \Sigma_x / \Sigma_r F(l, L_s, L, \mu_\nu) \quad [2]$$

donde $I_\gamma(l)$ es la intensidad de la radiación gamma neta a una distancia; l , de la fuente al detector en la sonda; Q es el flujo de neutrones térmicos; Σ_r es la sección eficaz de captura neutrónica macroscópica de la roca, y F es una función de l , los parámetros neutrónicos L and L_s y del coeficiente de atenuación lineal μ_ν de la roca para la radiación gamma. Usando análisis regresional se puede seleccionar un modelo que puede usarse como una aproximación para una función de respuesta muy compleja.

Esta técnica ha encontrado aplicaciones en sistemas de medida en línea y en el campo para determinar la calidad de la materia prima en la industria minera, también existen aplicaciones médicas, etc.

Este método, debido a que muestrea un gran volumen y provee un análisis en tiempo real, es particularmente útil para el monitoreo geofísico en la producción de perforaciones de exploración y de voladura. La técnica PGNAA puede ser usado en las canteras de caliza debido a que las secciones eficaces de captura de los elementos mayoritarios de la caliza son apreciables (tabla 1).

Tabla 1. Energía de la radiación gamma emitida y sensibilidad para la captura neutrónica de algunos elementos.

Elemento	Energía de las radiación gamma (MeV)	Sensibilidad	
Al	7,72	0,18	
Si	4,93	0,40	
	3,54	0,45	
Ca	6,42	0,30	
H	2,23	33	sigue tabla 1....

... viene	S	5,42	0,68
Cl		7,41	8,0
		6,62	9,4
		6,11	15
Ti		6,76	6,9
		6,42	4,6
V		7,16	1,4
		6,52	1,8
Cr		8,88	1,4
		7,94	0,68
Mn		7,24	2,9
		7,6	2,7
Fe		7,64	1,2
Ni		9,00	3,2
		8,53	1,5
Cu		7,92	1,7
		7,64	0,88
Cd		5,84	75
Gd		6,75	328
Hf		5,72	1,3
Hg		5,97	29

Existen analizadores elementales comerciales en línea basados en la técnica PGNAA para el análisis de la materia prima que se usan en diferentes partes del proceso en una fábrica de cemento⁴. Sin embargo, no existen trabajos sobre el uso de la técnica PGNAA para la caracterización de la caliza en cantera. En el presente trabajo se ha explorado la aplicación del análisis por activación neutrónica de gammas inmediatos en las canteras de Atocongo y Pucará de Cementos Lima S.A. Esta técnica ha logrado dar resultados de campo de la concentración de determinados elementos de interés (SiO_2 , SO_3 , Al_2O_3 , Fe_2O_3 , y CaO) para la industria cementera, lo cual puede reducir los costos de producción.

PARTE EXPERIMENTAL

Para las medidas PGNA de campo se utilizó el sistema SIROLOG de CSIRO, Exploration and mining, Australia, y consta básicamente de una sonda de medida, un cable de acero

inoxidable que se conecta a una interfase, un sistema motorizado para introducir y retirar la sonda de una perforación y todo el sistema está controlado por una computadora portátil. La figura 2 muestra el esquema del sistema SIROLOG. El radio de acción de los neutrones térmicos es alrededor 0,4 m. La sonda de medida es de 70 mm de diámetro y 1,5 m de longitud, y consta de una fuente de neutrones de ^{252}Cf de 51 MBq, un cristal $\text{Bi}_4\text{Ge}_3\text{O}_{12}$ (BGO) como detector de rayos gamma junto a un fotomultiplicador, y el respectivo blindaje. El detector BGO y la fuente de neutrones están separados por un blindaje de plomo y polietileno de alta densidad. Como la captura neutrónica se produce con neutrones térmicos, éstos son termalizados por el polietileno de alta densidad debido a su alto contenido de hidrógeno. El pico de hidrógeno a 2,23 MeV se usa para la estabilización de la ganancia de la sonda. Adicionalmente, el detector BGO está cubierto con un cilindro de aluminio recubierto con B^{10} que blinda el detector de los neutrones térmicos. La electrónica necesaria para la medida espectral de la radiación gamma está contenida junto al detector, dentro de la sonda.

El sistema está basado en la tecnología de cable simple que usa un conductor común para la comunicación y la alimentación de la sonda. Todo el sistema funciona con una batería de 12 V. El cable de acero inoxidable provee la línea de transmisión y el sistema de polea mide la profundidad por medio de un decodificador óptico. El sistema está conectado con un cable de acero inoxidable de 450 m, el cual, mediante un motor y una polea, puede introducir la sonda dentro de la perforación y retirarlo. La señal digital llega a una interfaz electrónica que está conectada a una computadora portátil. Antes de la medición se introduce la sonda en la perforación hasta el fondo, y para realizar la medición se extrae la sonda y se obtiene un espectro acumulado para cada intervalo de 10 cm. La velocidad de muestreo utilizada fue de 2 m/min. Todo el sistema se puede transportar usando una camioneta y monitorear las perforaciones en la cantera, ya que el sistema opera con una batería.

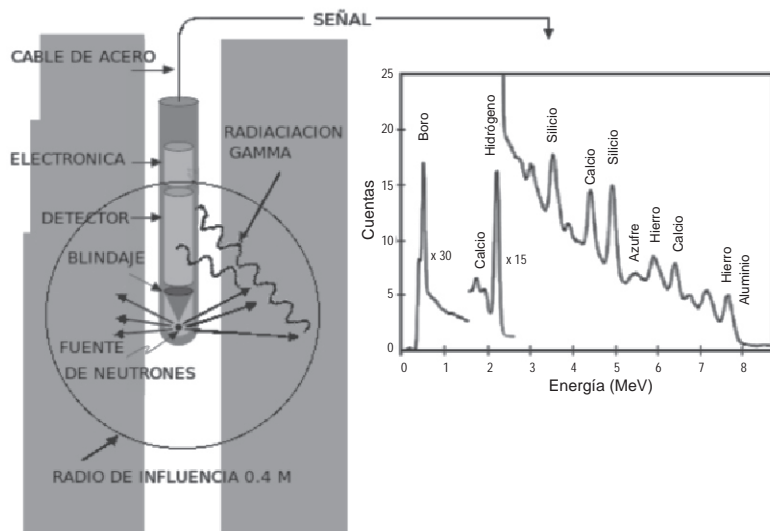


Figura 2. Esquema del sistema de análisis por activación neutrónica de gammas inmediatos.

RESULTADOS Y DISCUSIÓN

Con la técnica PGNAA se pueden analizar la mayoría de los elementos constituyentes de la caliza debido a que el Ca, Si, Fe, Al y S tienen un valor de sección eficaz apreciable de captura neutrónica (tabla 1). Se realizaron pruebas de banco para determinar la posibilidad de la aplicación del método PGNAA para la caracterización de la caliza de las perforaciones de voladura. Estas pruebas se llevaron a cabo en un contenedor con una geometría similar a una perforación de voladura con diferentes grados de caliza. El recipiente se llenó con 800 kg de caliza de una concentración uniforme. La tabla 2 muestra la composición química de las muestras de caliza utilizadas.

Tabla 2. Composición química de las muestras para las pruebas de banco obtenidas por FRX.

muestra	SiO ₂	Al ₂ O ₃	Fe ₂ O ₃	CaO	SO ₃
m1	19,84	8,89	3,58	36,58	1,75
m4	13,68	5,26	2,31	42,23	1,52
m3	9,58	3,51	1,51	45,56	1,07
Gallo	2,59	0,47	0,47	53,10	0,49

Las medidas fueron realizadas para cada muestra con la sonda ubicada en el centro del contenedor y en un tiempo de 10 min. Las regiones de baja y alta energía del espectro obtenido se muestran en la figura 3. Se observa que los espectros obtenidos son lo suficientemente diferentes con respecto al grado de caliza que garantiza hacer pruebas de campo en las perforaciones de voladura de la cantera de Atocongo.

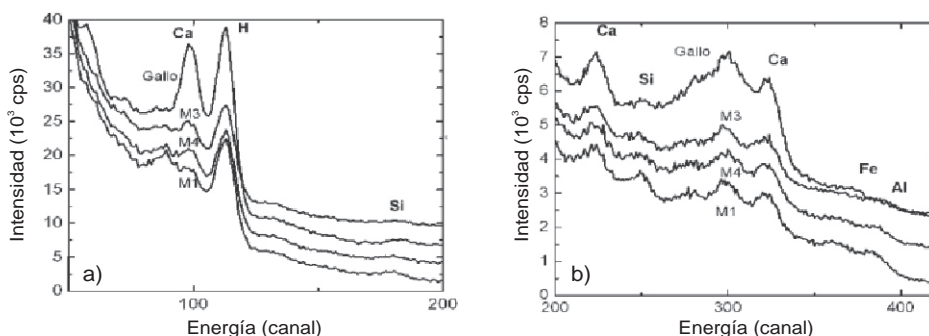


Figura 3. Espectros PGNAA de baja (a) y alta (b) energía de muestras en un contenedor de diferentes grados de caliza.

Se realizaron muestreos con el sistema PGNAA en 33 perforaciones de voladura en la cantera de Atocongo de Cementos Lima S.A. Las perforaciones fueron seleccionadas para proveer un amplio rango de grado de caliza y usando el procedimiento de rutina de recolección

de las muestras se realizaron los análisis por FRX de las mismas perforaciones en el Laboratorio de Control de Calidad de Cementos Lima. Toda la perforación (entre 9 y 13 m) fue analizada con la sonda y se recolectaron espectros PGNAA en intervalos de 10 cm. La velocidad de la sonda fue de 2 m/min para tener una buena estadística.

En la figura 4 se muestran las regiones de baja y alta energía de los espectros para toda la perforación con baja (612 y 606), media (486 y 920) y alta (222 y 232) ley de caliza. Se observa que los espectros se pueden diferenciar fácilmente en función del grado de caliza de la perforación.

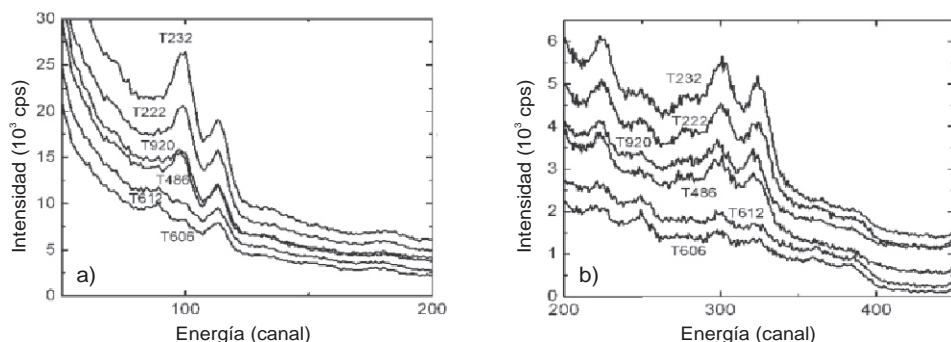


Figura 4. Espectros PGNAA de baja (a) y alta (b) energía correspondientes a diferentes perforaciones de voladura en la cantera de Atocono.

Para la calibración del sistema se sumó todos los espectros obtenidos para cada perforación y con la ayuda de los resultados del análisis de FRX de cada perforación, se procedió a identificar las regiones de interés para cada elemento. Para la normalización de las regiones de interés se tienen los picos del H y B que siempre se tienen presente debido a que el blindaje del detector tiene estos elementos. Las regiones de interés que dieron una buena calibración se muestran en la tabla 3.

Tabla 3. Razones de las regiones de interés del espectro utilizados para las curvas de calibración de la sonda PGNAA.

Razón de la región de interés	elemento
Rat 1 = (310-330)/(16-28)	Ca
Rat 2 = (165-185)/(16-28)	Si
Rat 3 = (370-390)/(16-28)	Fe
Rat 4 = (370-390)/(101-121)	Ca
Rat 5 = (261-281)/((16-28)	S
Rat 6 = (285-305)/(16-28)	Fe

Para obtener la curva de calibración se utilizaron las razones de las regiones de interés para cada elemento y fueron modelados usando análisis de regresión hasta obtener el mejor ajuste con respecto a los datos de FRX. Las curvas de calibración obtenidas son:

$$\% \text{CaO} = 59,73 + 4461 * \text{Rat 1} - 3519,7 * \text{Rat 2}$$

$$\% \text{SiO}_2 = -4,63 - 5457,4 * \text{Rat 1} + 4137,6 * \text{Rat 2}$$

$$\% \text{Fe}_2\text{O}_3 = -3,95 + 1777,9 * \text{Rat 3}$$

$$\% \text{SO}_3 = -0,34 + 27,42 * \text{Rat 4} - 81,24 * \text{Rat 5}$$

$$\% \text{Al}_2\text{O}_3 = -5,18 - 2533,9 * \text{Rat 6} + 2239,8 * \text{Rat 2}$$

Las curvas de calibración tienen sentido físico porque están relacionadas al elemento de interés y debido a que hay una correlación entre determinados elementos en la cantera; por ejemplo, en el caso del CaO está relacionado al Ca y el Si. En la figura 5 se muestran los resultados de análisis de las perforaciones medidos por FRX y por PGNAA para el CaO y So₃.

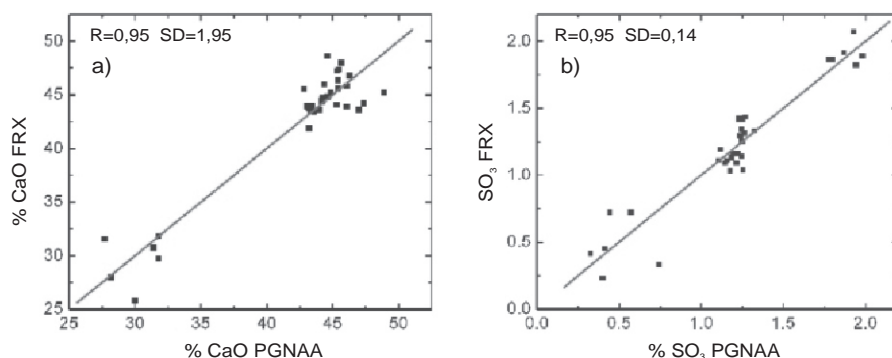


Figura 5. Correlación de las concentraciones de (a) CaO y (b) SO₃ obtenidos por FRX y calculados por PGNAA.

Se observa que hay una buena correlación entre las medidas de FRX y PGNAA para el CaO y SO₃. Curvas de correlación similares se han obtenido para el SiO₂, Fe₂O₃, y Al₂O₃. Se observa que algunos puntos no tienen buena correlación debido a que la representatividad de la muestra medida con PGNAA y FRX no es la misma. Hay que tener en cuenta el error que se comete al muestrear, ya que el dentrito es de aproximadamente 1000 kg y se tiene que obtener una muestra representativa de unos 200 g. Una vez calibrado el sistema se puede obtener información del grado de la caliza en función de la profundidad en las perforaciones de voladura (figura 6).

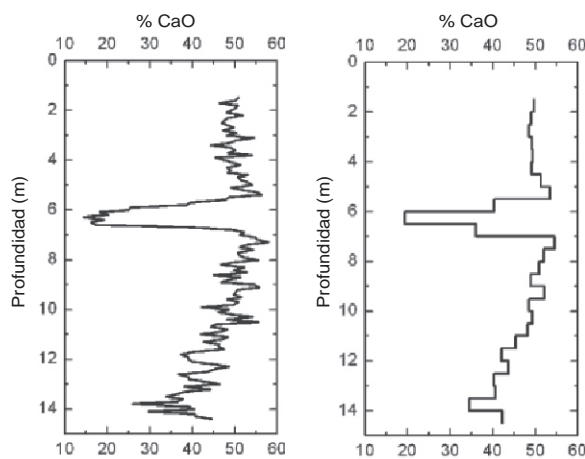


Figura 6. Perfil de la concentración de CaO en la perforación de voladura 204 de la cantera de Atocongo por cada intervalo de 10 cm y 50 cm en función de la profundidad.

El perfil de la concentración por cada 10 cm no es muy representativa debido a que la señal proviene de un radio de 40 cm; por eso se realiza la suma de los espectros cada 50 cm para obtener un perfil semicuantitativo. Esta información es adicional, debido a que en el análisis tradicional sólo se tiene un valor del grado de caliza por cada perforación de voladura. Usando la curva de calibración se obtuvo el perfil de algunas perforaciones de voladura de la cantera Pucará (figura 7).

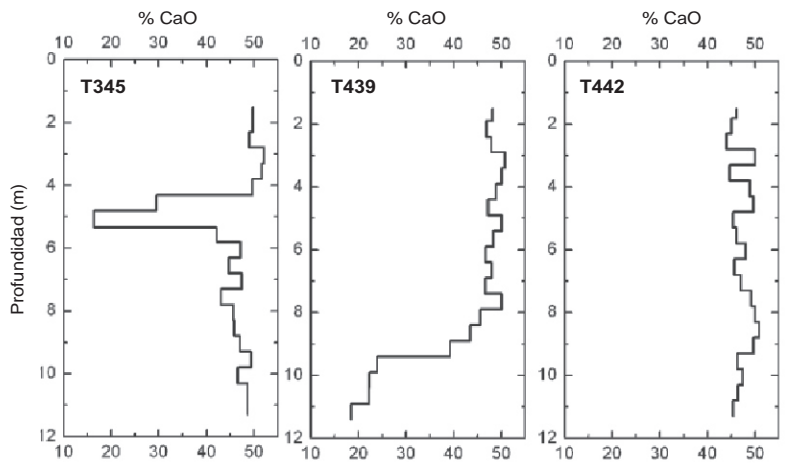


Figura 7. Perfil de la concentración de CaO de las perforaciones de voladura 345, 439 y 442 de la cantera de Pucará en función de la profundidad.

La información del perfil es muy importante cuando la veta es heterogénea, porque el error de muestreo es crítico. Esta información es muy útil para caracterizar la cantera y realizar la proyección del minado de la misma. El perfil de la concentración en función de la profundidad se puede obtener para el CaO, SiO₂, Fe₂O₃ y SO₃ (figura 8).

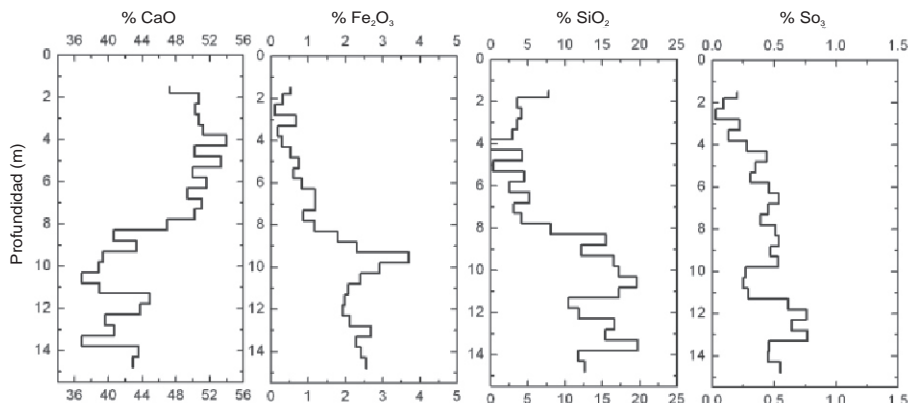


Figura 8. Perfil de concentraciones de CaO, Fe₂O₃, SiO₂ y SO₃ en la perforación de voladura 232 de la cantera de Atocongo en función de la profundidad.

Se han realizado medidas PGNAA de varias perforaciones de voladura de los proyectos 2720 y 2737. En la figura 9 se observa la variación de la concentración de CaO en función de la profundidad de algunas perforaciones de voladura del proyecto 2720; esta información es muy útil para caracterizar la veta.

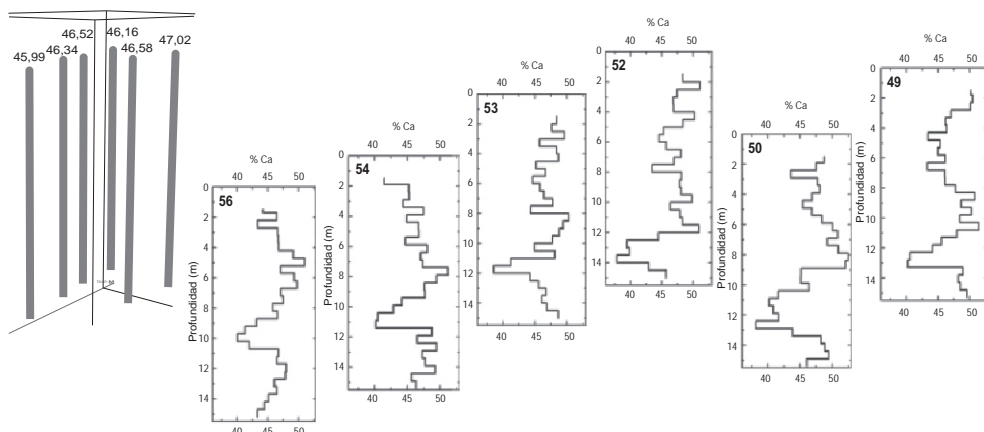


Figura 9. Perfil de las concentraciones de CaO en las perforaciones de voladura del proyecto 2720 de la cantera de Atocongo en función de la profundidad.

El perfil de las concentraciones de CaO, SiO₂, Fe₂O₃, SO₃ y Al₂O₃ en la perforación de voladura en función de la profundidad y la concentración de las mismas para la perforación se obtienen inmediatamente de terminada la medición PGNAA.

CONCLUSIONES

Los resultados obtenidos en pruebas de campo en la cantera de Atocongo y Pucará han demostrado la viabilidad de la técnica de PGNAA. Esta técnica puede determinar *in situ* la concentración de varios componentes tales como: CaO, SiO₂, Fe₂O₃, Al₂O₃, y SO₃ en la cantera. El perfil de la concentración del elemento de interés de la perforación en función de la profundidad que se obtiene con esta técnica, es una información que permite conocer cómo es la distribución del mineral de interés en la cantera y permitirá realizar una mejor proyección de explotación de la cantera. Los resultados que se obtienen son rápidos y prácticamente después de realizar la medición.

AGRADECIMIENTO

Al Organismo Internacional de Energía Atómica por el financiamiento del proyecto PER/1/014 y al Dr. Jean-Louis Pinault por las discusiones fructíferas sobre la técnica PGNAA.

BIBLIOGRAFÍA

1. M. Borsaru and C. Ceravolo, *Nucl. Geophys.* 1994; 8: 343-350.
2. J. Charbucinski, J. Malos, A. Rojc, and C. Smith, *Applied Radiation and Isotopes*, 2003; 59: 197-203.
3. J. Charbucinski and W. Nichols, *Applied Energy*, 74, 313–322 (2003).
4. D. Leetham, *World Cement*, 2008; Enero.
5. R.L. Paul and R.M. Lindstrom, *Journal of Radioanalytical and Nuclear Chemistry*, 2000; 243 (1): 181-189.